

КРАТКИЕ СООБЩЕНИЯ

УДК 681.335 : 681.7

П. Е. ТВЕРДОХЛЕБ  
(Новосибирск)

**МНОГОКАНАЛЬНОЕ ВЫЧИСЛЕНИЕ КВАДРАТИЧНОЙ ФОРМЫ  
НЕКОГЕРЕНТНЫМИ МЕТОДАМИ**

Метод вычисления квадратичной формы, предложенный в [1], предусматривает использование системы оптической пространственной фильтрации с голографическим фильтром. Недостатками такого метода являются одноканальность, значительные потери световой мощности и большие погрешности вычислений, возникающие из-за применения когерентного света и голографических фильтров.

Покажем, что указанных недостатков в значительной мере лишена некогерентная оптическая система, разработанная для анализа фрагментов изображений по произвольному базису [2]. С этой целью обратимся к рис. 1, где в двух проекциях изображена оптическая система, осуществляющая умножение трех матриц.

Если в плоскостях  $P_1$ ,  $P_2$  и  $P_3$  этой системы разместить соответственно полупрозрачные транспаранты  $T_1$ ,  $T_2$  и  $T_3$  с функциями пропускания

$$f_1(y_1, x_1) = \sum_{t=-T/2}^{T/2} \sum_{q=-G/2}^{G/2} a_{tq} \operatorname{rect} \left[ \frac{y_1 - t\Delta y_1}{\Delta y_1} \right] \operatorname{rect} \left[ \frac{x_1 - q\Delta x_1}{\Delta x_1} \right],$$

$$f_2(y_2, x_2) = \sum_{p=-P/2}^{P/2} \sum_{q=-G/2}^{G/2} r_{pq} \operatorname{rect} \left[ \frac{y_2 - p\Delta y_2}{\Delta y_2} \right] \operatorname{rect} \left[ \frac{x_2 - q\Delta x_2}{\Delta x_2} \right],$$

$$f_3(y_3, x_3) = \sum_{p=-P/2}^{P/2} \sum_{s=-S/2}^{S/2} b_{ps} \operatorname{rect} \left[ \frac{y_3 - p\Delta y_3}{\Delta y_3} \right] \operatorname{rect} \left[ \frac{x_3 - s\Delta x_3}{\Delta x_3} \right],$$

где функция

$$\operatorname{rect}[\theta] = \begin{cases} 1, & \text{если } |\theta| \leq 1/2; \\ 0, & \text{если } |\theta| > 1/2, \end{cases}$$

то значение освещенности света на элементе выходной плоскости  $P_4$  с координатами

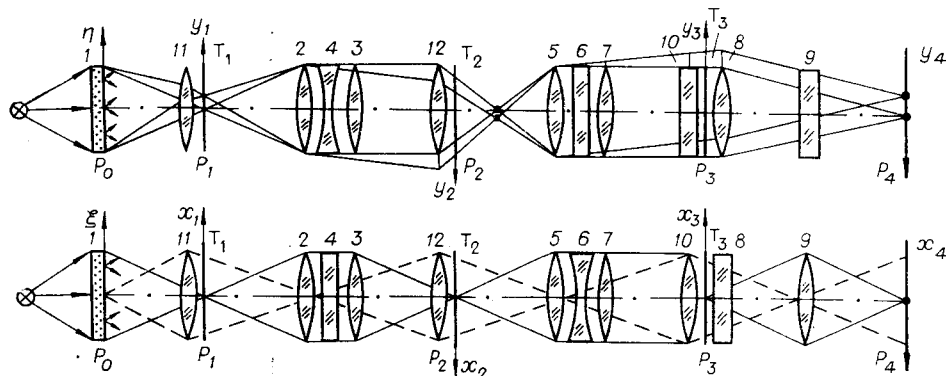


Рис. 1.

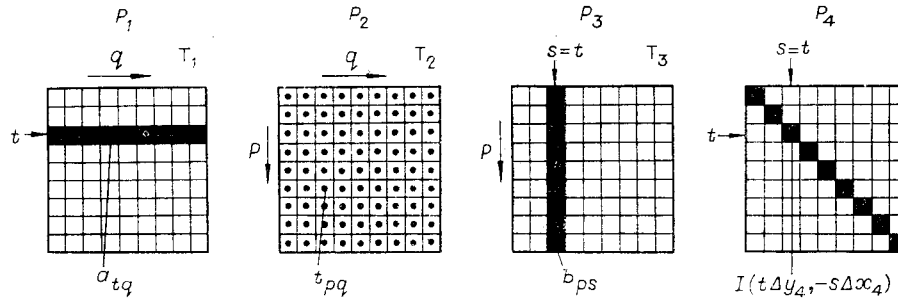


Рис. 2.

$t\Delta y_4, -s\Delta x_4$  можно вычислить по формуле

$$I(t\Delta y_4, -s\Delta x_4) = K \sum_{p=-P/2}^{P/2} \sum_{q=-G/2}^{G/2} a_{tq} r_{pq} b_{ps} \quad (1)$$

( $K$  — коэффициент пропорциональности).

Уточним смысл этой формулы с помощью рис. 2. Первые три матрицы на этом рисунке соответствуют изображениям, представленным на транспарантах  $T_1, T_2$  и  $T_3$ , а четвертая из них — распределению освещенности в выходной плоскости системы. Можно видеть, что освещенность на заданном элементе выходной плоскости определяется значениями элементов  $t$ -й строки и  $s$ -го столбца первой и третьей матриц и всеми элементами второй матрицы.

Допустим, что на  $t$ -й строке транспаранта  $T_1$  и  $s=t$ -м столбце транспаранта  $T_3$  записаны одинаковые векторы признаков, причем так, что  $a_{tq} = b_{ps}$ . Тогда из (1) получим, что

$$I(t\Delta y_4, -s\Delta x_4) = K \sum_{p=-P/2}^{P/2} \sum_{q=-G/2}^{G/2} a_{tq} r_{pq} a_{pt} \quad (2)$$

Известно [3], что квадратичная форма центрированного вектора  $\tilde{Z}$  вычисляется по формуле

$$\Psi_m(\tilde{Z}) = \sum_{d=1}^D \sum_{k=1}^D \tilde{z}_d g_{dk}^{(m)} \tilde{z}_k \quad (3)$$

где  $g_{dk}^{(m)}$  — элементы обратной ковариационной матрицы сигналов класса  $m$ . Отсюда следует полная эквивалентность выражений (2) и (3) при условиях, что  $a_{tq} = \tilde{z}_d, a_{pt} = \tilde{z}_k, D = P+1, P = G$ , а  $r_{pq} = g_{dk}$ . Последнее из условий означает, что отсчет  $r_{pq}$  — элемент транспонированной обратной ковариационной матрицы.

Таким образом, если на  $t$ -й строке транспаранта  $T_1$  и  $t$ -м столбце транспаранта  $T_3$  записать элементы центрированного вектора  $\tilde{Z}$ , а на транспаранте  $T_2$  — элементы обратной ковариационной матрицы, то освещенность элемента выходной плоскости с индексами  $t, -t$  будет пропорциональна значению искомой квадратичной формы. Переход к оценке меры близости вектора  $\tilde{Z}$  к классу  $(m+1)$  достигается путем смены (перезаписи) транспаранта  $T_2$ .

Если компоненты вектора  $\tilde{Z}$  являются знакопеременными, то значение квадратичной формы можно вычислить по формуле

$$\Psi_m(\tilde{Z}) = \Psi_m^{++} - \Psi_m^{+-} - \Psi_m^{-+} + \Psi_m^{--},$$

где

$$\Psi_m^{++} = \sum_{d=1}^D \sum_{k=1}^D \tilde{z}_d^+ g_{dk}^{(m)} \tilde{z}_k^+,$$

$$\Psi_m^{+-} = \sum_{d=1}^D \sum_{k=1}^D \tilde{z}_d^+ g_{dk}^{(m)} \tilde{z}_k^-,$$

$$\Psi_m^{-+} = \sum_{d=1}^D \sum_{k=1}^D \tilde{z}_d^- g_{dk}^{(m)} \tilde{z}_k^+,$$

$$\Psi_m^{--} = \sum_{d=1}^D \sum_{k=1}^D \tilde{z}_d^- g_{dk}^{(m)} \tilde{z}_k^-,$$

именных строках и столбцах транспарантов  $T_1$  и  $T_3$ . В этом случае искомыми значениям квадратичных форм будут пропорциональны значения освещенностей на диагональных элементах выходной матрицы, где должны быть установлены фотоприемники. Места расположения фотоприемников выделены на рис. 2 темными квадратами. Рассматриваемая некогерентная оптическая система обладает высоким коэффициентом использования светового потока и повышенной точностью вычислений, особенно тогда, когда ее осветительная часть содержит линзо-растровые элементы [4].

Согласно [5] произведение числа строк, имеющихся на транспарантах  $T_1$  и  $T_3$ , является постоянной величиной и определяется выражением

$$(T+1)(P+1) = (1/2\lambda)(F_1/F)(L/F)L = \text{const.} \quad (4)$$

где  $F$  — фокусное расстояние объектива 11;  $F_1$  — эквивалентный фокус оптического блока, составленного из объективов 2–4;  $L$  — размер рабочего поля;  $\lambda$  — средняя длина волны применяемого некогерентного источника света (см. рис. 1). В нашем случае параметр  $(T+1)$  определяет возможное число параллельных каналов в системе, а параметр  $(P+1)$  — возможное число признаков во входном векторе  $Z$ . Эти параметры, как следует из (4), взаимосвязаны. Если один из них выбран произвольно, то второй должен быть определен из выражения (4).

Признаки входного вектора  $Z$  размещаются на транспаранте  $T_1$  вдоль строки. Это означает, что

$$(G+1) = (P+1), \quad (5)$$

где  $G+1$  — размерность транспаранта вдоль оси  $x$ . Исходя из условия (5) можно определить размерность транспаранта  $T_2$ , на котором воспроизводятся элементы обратной ковариационной матрицы.

Пусть для вычисления квадратичной формы применена оптическая система, для которой  $F_1/F=1/3$ ,  $L/F=1/5$ ,  $L=60$  мм и  $\lambda=0,5 \cdot 10^{-3}$  мм. Тогда из выражения (4) получим, что  $(T+1)(P+1) \sim 4 \cdot 10^3$ . Если принять, что число параллельных каналов равно 32, то входной вектор будет содержать  $\sim 128$  признаков. Размерности транспарантов:  $T_1 - 32 \times 128$ ,  $T_2 - 128 \times 128$ ,  $T_3 - 128 \times 32$ . Выходная плоскость системы состоит из  $32 \times 32$  элементов; из них информативные — 32 элемента, расположенные по диагонали.

## ЛИТЕРАТУРА

1. Нежевенко Е. С., Твердохлеб П. Е. Когерентно-оптические методы распознавания одномерных сигналов.— Автометрия, 1972, № 5.
2. Кривенков Б. Е., Михляев С. В., Твердохлеб П. Е., Чугуй Ю. В. Некогерентная оптическая система для выполнения матричных преобразований.— Автометрия, 1975, № 3.
3. Нильсон Н. Обучающиеся машины. М.: Мир, 1967.
4. Михляев С. В., Твердохлеб П. Е., Чугуй Ю. В. Линзо-растровая некогерентная оптическая система для матричных преобразований.— Опт. и спектр., 1978, т. 44, вып. 2.
5. Твердохлеб П. Е. Разрешающая способность оптической системы для матричных преобразований.— Автометрия, 1979, № 1.

Поступило в редакцию 4 июня 1980 г.

УДК 535.241.13 : 681.332

В. И. ФЕЛЬДБУШ  
(Новосибирск)

## УПРАВЛЯЕМЫЙ ТРАСПАРАНТ ДЛЯ ОКОНТУРИВАНИЯ ИЗОБРАЖЕНИЙ

Рассмотрен управляемый транспарант на основе монокристалла  $\text{Bi}_{12}\text{GeO}_{20}$ , структура которого идентична структуре транспаранта, описанного в [1]. Отличие состоит в том, что вместо монокристалла со срезом (100) использовался срез (110). При такой ориентации кристалла продольный электрооптический эффект отсутству-